

## ВОЛНЫ РАЗРЕЖЕНИЯ И СЖАТИЯ 1-ГО ЗВУКА В СВЕРХТЕКУЧЕМ Не-II

В.Б.Ефимов, Г.В.Колмаков, Е.В. Лебедева, Л.П.Межов-Деглин, А.Б.Трусов

Институт физики твердого тела РАН  
142432 Черноголовка Московской обл., Россия

Поступила в редакцию 20 апреля 1999 г.

Исследована эволюция формы волн 1-го звука, возбуждаемых импульсным нагревателем в сверхтекучем Не-II, с повышением мощности  $Q$  возмущающего теплового импульса. В жидкости, сжатой до 13.3 атм, наблюдано распространение волны разрежения 1-го звука (волны нагрева), последующая трансформация волны разрежения в волну сжатия и далее в ударную волну сжатия с ростом  $Q$ , то есть по изменению формы звуковой волны можно судить об изменении условий передачи тепла на границе твердое тело – Не-II. Из наших измерений следует, что основной причиной возбуждения волн сжатия в Не-II при давлениях  $P \geq 1$  атм является тепловое расширение слоя нормальной жидкости Не-I, возникающего на границе между Не-II и нагревателем при мощности  $Q$  выше некоторой критической.

PACS: 67.40.Mj

Данная работа посвящена изучению эволюции формы волн 1-го звука, возбуждаемых источником коротких ( $0.3 - 10$  мкс) тепловых возмущений в сверхтекучем гелии (Не-II) при давлениях  $P \geq 1$  атм с увеличением мощности теплового импульса. Известно [1–3], что импульсный нагреватель, помещенный в Не-II, наряду с волнами 2-го звука (волнами энтропии или температурными волнами) возбуждает волны обычного 1-го звука (волны плотности). Поскольку коэффициент теплового расширения Не-II при температурах выше 1.2 К отрицателен,  $\beta = -(1/\rho)(\partial\rho/\partial T)_s < 0$  (здесь  $\rho$  – плотность жидкости), волне нагрева с амплитудой  $\delta T_1 > 0$ , распространяющейся от нагревателя в Не-II со скоростью 1-го звука, соответствует волна разрежения ( $\delta\rho = \rho\beta\delta T_1 < 0$  при  $\delta T_1 > 0$ ). При малой плотности теплового потока  $Q$  энергия в волне 1-го звука много меньше энергии в волне 2-го звука. Поэтому амплитуда колебаний температуры  $\delta T_1$  в квазиадиабатической волне 1-го звука много меньше амплитуды волны 2-го звука  $\delta T_2$ . В линейном приближении (при малых  $Q$ ), воспользовавшись приводимыми в [1–3] соотношениями, можно оценить, что при давлении насыщенных паров  $P \sim P_{SVP} \leq 0.05$  атм и температуре  $T = 1.9$  К отношение амплитуд  $\delta T_1/\delta T_2 \cong 2 \cdot 10^{-4}$ . Следовательно, линейной волне 2-го звука с амплитудой  $\delta T_2 < 1$  мК должна соответствовать волна разрежения 1-го звука с амплитудой  $\delta T_1 < 0.2$  мК, что лежит, как правило, за пределами разрешения приемников коротких тепловых импульсов (болометров). Значительно увеличить амплитуду линейных волн в Не-II за счет повышения мощности возмущающего теплового импульса  $Q$  не удается, так как с ростом  $Q$  линейная волна 2-го звука быстро преобразуется в ударную, а вместо волны нагрева (разрежения) болометр регистрирует приход волны охлаждения 1-го звука, то есть волны сжатия (при  $\delta T_1 < 0 \delta\rho > 0$ ). Поэтому в большинстве опубликованных ранее работ (см., например, [4–6] и литературу в них) сообщали о наблюдении ударных волн сжатия 1-го звука, образующихся в Не-II под действием мощных коротких тепловых импульсов.

Как будет показано далее, повышение давления в Не-II до  $P = 13.3$  атм позволило нам зарегистрировать одновременно распространение линейных волн 2-го звука и волн разрежения 1-го звука при малых  $Q$ . Обнаружено, что с увеличением  $Q$  волна разрежения трансформируется в волну сжатия (охлаждения) и далее в ударную звуковую волну с разрывом (скачком температуры и давления) на фронте бегущего импульса.

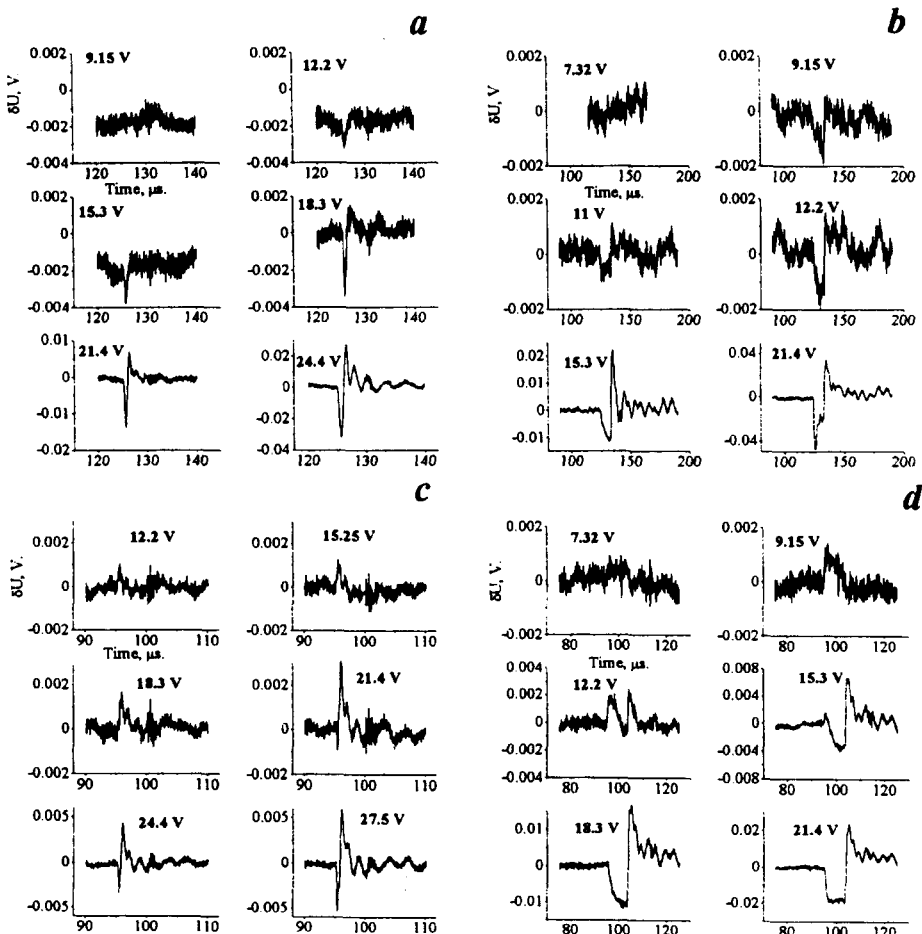


Рис.1. Эволюция формы волн 1-го звука в сжатом Не-II:  $P = 1.05$  атм,  $T = 2.013$  К,  $\tau = 0.3$  мкс (а),  $\tau = 10$  мкс (б);  $P = 13.3$  атм,  $T = 1.895$  К,  $\tau = 0.3$  мкс (в),  $\tau = 10$  мкс (г). Цифры на осциллограммах указывают величину напряжения на нагревателе

Конструкция прибора в эксперименте аналогична описанной ранее в работе [7], посвященной нелинейным волнам второго звука в Не-II. Измерения проводили в цилиндрическом волноводе диаметром 0.3 см и длиной 2.9 см, заполненном сверхтекучей жидкостью, в диапазоне давлений 1 – 13.3 атм при температурах  $T > 1.2$  К. По торцам волновода располагали пленочный излучатель, соединенный с генератором прямоугольных электрических импульсов, и сверхпроводящий рениевый болометр [8]. Переменный сигнал с болометра усиливался и записывался в память цифрово-

го осциллографа. Среднюю плотность мощности излучаемых тепловых импульсов в волноводе можно оценить из соотношения  $Q = U^2/RS \cong 0.11U^2$  Вт/см<sup>2</sup>, где  $U$  – напряжение на нагревателе,  $R$  – его сопротивление и  $S$  – площадь сечения волновода. Плотность мощности импульсного теплового потока в волноводе  $Q$  изменялась от 0.1 до 150 Вт/см<sup>2</sup>, длительность возмущающего импульса  $\tau$  изменяли ступенями  $\tau = 0.3, 1, 3$  и 10 мкс.

Как и в работах [4, 5], при малых давлениях в Не-II удавалось наблюдать только волны сжатия 1-го звука ( $\delta T_1 < 0, \delta\rho > 0$ ). Для примера на рис.1 показаны осциллограммы, описывающие эволюцию формы волны сжатия 1-го звука в Не-II при  $T = 2.013$  К и  $P = 1.05$  атм с повышением плотности мощности теплового импульса при фиксированной длительности  $\tau = 0.3$  мкс (а) и 10 мкс (б). По оси ординат указано напряжение на экране осциллографа ( $\delta U \sim \delta T_1$ ), то есть амплитуды сигналов на всех графиках измеряются в относительных единицах. Уровню шумов  $\delta U \sim 0.001$  В соответствует  $\delta T_1 \sim 5 \cdot 10^{-6}$  К. Время развертки измеряется в мкс. Цифры на графиках указывают величину электрического напряжения  $U$  на нагревателе. Частота повторения возмущающих импульсов 10 Гц. Заметим, что при малых  $U$  и длительности возмущающего импульса  $\tau \geq 1$  мкс длительность регистрируемой волны сжатия близка к длительности возмущающего импульса. При  $U > 18$  В болометр регистрирует возникновение ударной волны с разрывом на фронте бегущего импульса. Аналогичные зависимости наблюдались в Не-II при давлениях 2 – 9 атм.

На рис.1c,d показаны осциллограммы, описывающие эволюцию формы импульсов 1-го звука в Не-II при  $P = 13.3$  атм и  $T = 1.895$  К при длительности теплового импульса  $\tau = 0.3$  мкс (с) и 10 мкс (д). Повышение давления привело к существенному изменению не только формы, но и полярности регистрируемых волн 1-го звука. При малых  $U$  болометр регистрирует приход волны нагрева (волны разрежения,  $\delta T_1 > 0, \delta\rho < 0$ ), ширина которой близка к  $\tau$  при  $\tau \geq 1$  мкс, а амплитуда растет примерно пропорционально  $U^2$ . С повышением  $U$  волна нагрева трансформируется в волну охлаждения (волну сжатия,  $\delta T_1 < 0, \delta\rho > 0$ ) и далее в ударную волну сжатия, вслед за которой наблюдаются длиннопериодные осцилляции. Аналогичные осцилляции наблюдались при давлениях ниже и выше критического  $P_{cr} = 2.26$  атм, то есть их можно связать с переходными процессами на границе нагреватель – Не-II.

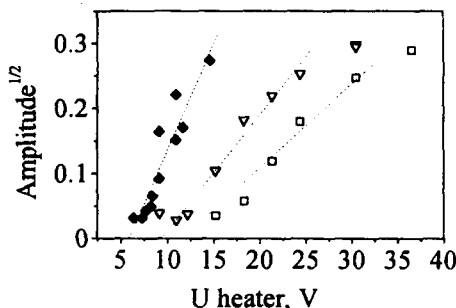


Рис.2. Зависимость амплитуды 1-го звука  $A$  от напряжения на нагревателе  $U$  в масштабе  $A^{1/2} = f(U)$ .  $P = 1.05$  атм,  $T = 2.013$  К,  $\tau = 0.3$  мкс – квадраты,  $\tau = 10$  мкс – треугольники,  $T = 2.124$  К,  $\tau = 10$  мкс – ромбы

Приступим к обсуждению. Из осциллограмм, показанных на рис.1a,b, видно, что при уровне шумов  $\sim 0.001$  В волна сжатия с амплитудой  $A = |\delta U| > 0.001$  В (что соответствует  $|\delta T_1| > 3 \cdot 10^{-6}$  К) наблюдается при мощности выше некоторой пороговой  $Q_{cr}$ , величина которой падает с увеличением длительности возмущающего импульса. На рис.2 показаны зависимости величины  $A^{1/2}$  от напряжения  $U$  на нагревателе,

рассчитанные по результатам измерений в Не-II при  $P = 1.05$  атм и  $T = 2.013$  К, а также при  $T = 2.124$  К. Значения  $Q_{cr}$  мы оценивали, аппроксимируя зависимости  $A^{1/2} = f(U)$  прямыми линиями. Оказалось, что при постоянных температуре и давлении в Не-II произведение  $Q_{cr}\tau^{1/2} \cong \text{const}$  при изменении длительности возмущающего импульса  $\tau$  в 30 раз, в согласии с тем, что наблюдали ранее в [4–6] в Не-II при давлении насыщенных паров. По нашим наблюдениям при давлениях  $P = 1–6$  атм величина константы слабо зависит от давления, но, в отличие от [4–6], сильно зависит от температуры. Это указывает, что механизм возникновения волны сжатия при  $P \sim P_{SVP}$  (импульсное вскипание жидкости) и при повышенных давлениях  $P \geq 1$  атм заметно различен. Поскольку волны сжатия наблюдаются при давлениях как ниже, так и выше критического  $P_{cr} = 2.26$  атм, где перехода жидкость – пар не существует, основной причиной их возникновения может быть только расширение слоя нормального гелия Не-I, возникающего на границе между нагревателем и Не-II при  $Q > Q_{cr}$  (в Не-I при температурах  $T > T_\lambda + 0.006$  К коэффициент  $\beta > 0$ ).

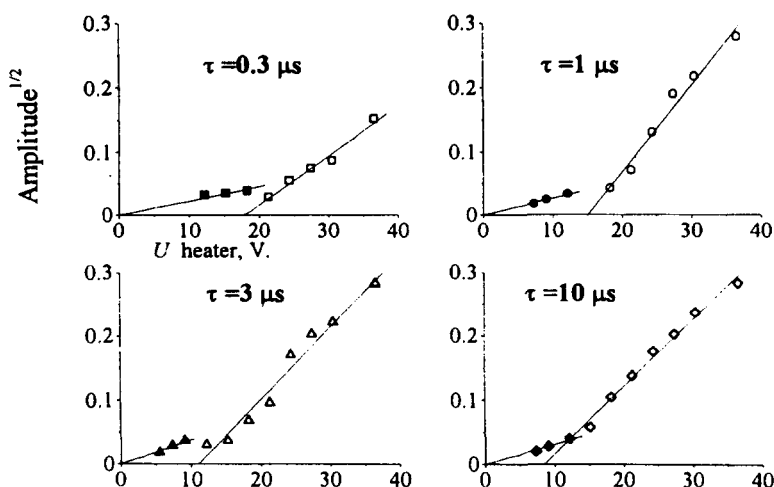


Рис.3. Зависимость амплитуды 1-го звука  $A$  от напряжения на нагревателе  $U$  в масштабе  $A^{1/2} = f(U)$ .  $P = 13.3$  атм,  $T = 1.895$  К,  $\tau = 0.3, 1, 3, 10$  мкс, черные точки – волны разрежения, светлые точки – волны сжатия

Зависимости  $|A|^{1/2} = f(U)$ , построенные по результатам измерений при  $P = 13.3$  атм (рис.1c,d), приведены на рис.3. Темные точки соответствуют волнам разрежения. Как и следовало ожидать, проведенная через них прямая  $|A|^{1/2} \sim U$  проходит через начало координат. Светлые точки соответствуют волнам сжатия. По пересечению прямых, проведенных через светлые точки, с осью абсцисс можно оценить пороговые мощности  $Q_{cr}$ , выше которых возбуждается волна сжатия. Оказалось, что, как и при меньших давлениях, произведение  $Q_{cr}\tau^{1/2}$  практически не изменяется при увеличении  $\tau$  от 0.3 до 10 мкс.

В начале статьи мы отмечали, что в линейном приближении расчетное значение отношения амплитуд колебаний температуры в волнах нагрева 1-го и 2-го звуков в Не-II при давлении насыщенных паров и температуре  $T = 1.9$  К составляет  $\delta T_1 / \delta T_2 = 2 \cdot 10^{-4}$ . Выполненные нами численные расчеты на основании двухжидкостной модели [1, 2] показали, что с повышением давления в Не-II до 15 атм отноше-

ние  $\delta T_1 / \delta T_2$  при  $T = 1.9$  К должно возрасти на порядок. Для сравнения предсказаний расчетов с экспериментом мы оценили отношение наклонов прямых  $A_1^{1/2} = k_1 U$  и  $A_2^{1/2} = k_2 U$ , проведенных через экспериментальные точки, описывающие зависимости амплитуд волн нагрева 1-го и 2-го звуков  $A_1 = f(U)$  и  $A_2 = f(U)$  при малых  $U$  в Не-II при  $P = 13.3$  атм и  $T = 1.895$  К, которые возбуждались тепловыми импульсами длительностью  $\tau = 1, 3$  и  $10$  мкс. Отношение коэффициентов лежит в пределах  $k_2/k_1 \approx 23 \pm 6$ , то есть результаты измерений согласуются с теоретическим расчетом  $k_2/k_1 = (\delta T_2 / \delta T_1)^{1/2} \approx 23$ .

Таким образом, результаты проведенных исследований показали, что повышение давления в Не-II до 13 атм приводит к увеличению на порядок отношения амплитуд колебаний температуры в волнах нагрева 1-го и 2-го звуков, генерируемых импульсным нагревателем в сверхтекучей жидкости при малых  $Q$ .

При мощности выше некоторой критической  $Q_{cr}$ , величина которой слабо зависит от давления при  $P > 1$  атм, но возрастает по мере удаления от  $T_\lambda$  или с уменьшением длительности возмущающего импульса (пропорционально  $\tau^{-1/2}$ ), механизм передачи тепла на границе раздела нагреватель – Не-II качественно изменяется, что проявляется в возбуждении волн сжатия (охлаждения) 1-го звука. Наблюдения волн сжатия при давлениях как ниже, так и выше  $P_{cr}$  указывают, что основной причиной возникновения этих волн является тепловое расширение слоя нормальной жидкости Не-I, возникающего вблизи поверхности нагревателя при больших тепловых нагрузках. При малых давлениях  $P \approx P_{SVP}$  следует учитывать также пленочное вскипание жидкости, которое рассматривалось ранее в качестве основного механизма возбуждения ударных волн 1-го звука при импульсном нагреве Не-II.

Авторы благодарны А.А.Левченко, А.В.Лохову и А.Ф.Г.Wyatt за помощь в проведении исследований и обсуждение их результатов. Работа выполнена в рамках исследований, поддержанных грантом INTAS-93-3645- EXT.

1. Л.Д.Ландау, Е.М.Лифшиц, *Гидродинамика*, М.: Наука, 1986.
2. И.М.Халатников, *Введение в теорию сверхтекучести*, М.: Наука, 1965.
3. С.Паттерман, *Гидродинамика сверхтекучей жидкости*, М.: Мир, 1978.
4. А.Ю.Изнанкин, Л.П.Межов-Деглин, *ЖЭТФ* **84**, 1378 (1983).
5. М.Pomerantz, *Phys. Rev. Lett.* **26**, 362 (1971).
6. Е.В.Аметистов, В.А.Григорьев, *Теплообмен с Не-II*, М.: Энергоатомиздат, 1986.
7. В.Б.Ефимов, Л.П.Межов-Деглин, А.Б.Трусов, Г.В.Колмаков, *ФНТ* **25**, вып. 6 (1999).
8. И.Ю.Борисенко, Л.П.Межов-Деглин, В.Ж.Розенфланц, *ПТЭ* **5**, 137 (1987)